

P13-2010-121

Ю. В. Гурчин¹, Т. А. Васильев¹, А. Ю. Исупов¹,
Ю.-Т. Каракук^{1,2}, В. А. Краснов¹, А. К. Курилкин¹,
П. К. Курилкин¹, В. П. Ладыгин¹, А. Н. Ливанов¹,
С. М. Пиядин¹, С. Г. Резников¹, А. А. Терехин¹,
А. Н. Хренов¹, М. Янек^{1,3}

ДЕТЕКТИРУЮЩАЯ АППАРАТУРА
ДЛЯ ЭКСПЕРИМЕНТА ПО ИЗУЧЕНИЮ
РЕАКЦИИ dp -УПРУГОГО РАССЕЯНИЯ
НА ВНУТРЕННЕЙ МИШЕНИ НУКЛОТРОНА

Направлено в журнал «Письма в ЭЧАЯ»

¹Объединенный институт ядерных исследований, Дубна

²Исследовательский институт электрической инженерии, Бухарест

³Университет им. П. Й. Шафарика, Кошице, Словакия

Гурчин Ю. В. и др.

P13-2010-121

Детектирующая аппаратура для эксперимента
по изучению реакции dp -упругого рассеяния
на внутренней мишени нуклotronа

Представлена детектирующая аппаратура эксперимента для изучения реакции dp -упругого рассеяния на внутренней мишени нуклotronа. Приведены результаты оптимизации сцинтилляционных детекторов, а также результаты тестовых измерений на пучке deutронов.

Работа выполнена в Лаборатории физики высоких энергий им. В. И. Векслера и А. М. Балдина ОИЯИ.

Препринт Объединенного института ядерных исследований. Дубна, 2010

Gurchin Yu. V. et al.

P13-2010-121

Detection Equipment of the Experiment
for dp -Elastic Scattering Study
at the Internal Target Station of the Nuclotron

The detection equipment for dp -elastic scattering study at the internal target of the Nuclotron is presented. Results of the scintillation detectors optimization and results of test experiments using deuteron beam are shown.

The investigation has been performed at the Veksler and Baldin Laboratory of High Energy Physics, JINR.

Preprint of the Joint Institute for Nuclear Research. Dubna, 2010

ВВЕДЕНИЕ

Главной целью проекта DSS (Deuteron Spin Structure) является расширение энергетического и углового диапазонов в измерении различных наблюдаемых реакций с участием трехнуклонных систем. Главная задача экспериментальной программы — получение информации о спинзависимой части трехнуклонных сил. Одним из этапов проекта DSS [1] является измерение сечения, векторной A_y , тензорных A_{yy} и A_{xx} анализирующих способностей в dp -упругом рассеянии при кинетической энергии дейтрона от 200 до 2000 МэВ.

Измерения наблюдаемых в dp -упругом рассеянии [2] будут проведены с использованием станции внутренней мишени [3, 4] на нуклotronе. В качестве мишени будет использована полиэтиленовая пленка толщиной 10 мкм. Детектирование упругих событий будет выполнено парами детекторов, расположенных симметрично в вертикальной и горизонтальной плоскостях. Каждая пара предназначена для детектирования протонов и дейтронов на совпадения под определенным углом в с.ц.м. События dp -упругого рассеяния будут идентифицироваться по корреляции амплитуд сигналов и разнице времен пролета для дейтронного и протонного детекторов.

В случае измерения сечений будут использоваться две пары таких детекторов: первая — для изучения dp -упругого рассеяния, вторая — для измерений выхода pp -квазиупругого рассеяния под углом 90° в с.ц.м. для мониторирования интенсивности пучка.

1. ОПТИМИЗАЦИЯ ДЕТЕКТОРОВ

В эксперименте по изучению dp -упругого рассеяния [2] использовалось несколько сцинтилляционных детекторов. Схема экспериментальной установки представлена на рис. 1. Детектор для регистрации протонов и дейтронов в первоначальном виде (конфигурация А) состоял из двух счетчиков, каждый из которых включал в себя сцинтилляционный пластик, смонтированный в отдельном корпусе с фотоэлектронным умножителем ФЭУ-85 и цифровым делителем [5], управляемым дистанционно модулем высоковольтного питания SM-512 (рис. 2). Длина счетчика в сборе составляла 180 мм,

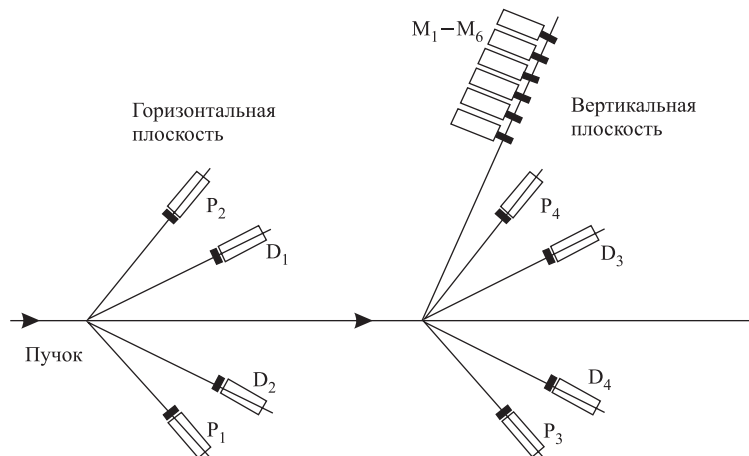


Рис. 1. Схема экспериментальной установки для изучения реакции dp -упругого рассеяния на станции внутренней мишени нуклotronа: Р — протонные детекторы, D — дейтронные детекторы. М₁–М₆ — мониторные счетчики

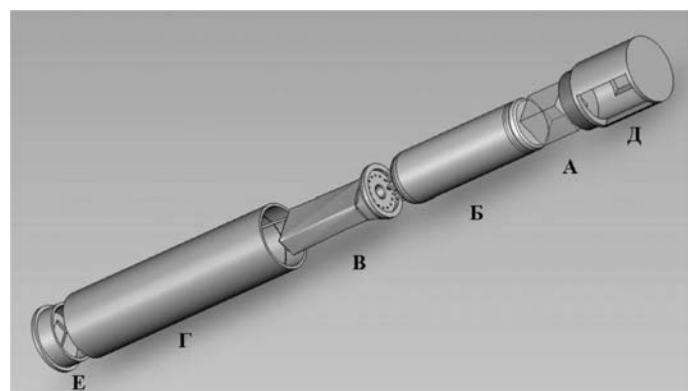


Рис. 2. Сцинтилляционный счетчик (светоизоляция не показана): А — сцинтиллятор; Б — фотоэлектронный умножитель ФЭУ-85; В — цифровой делитель; Г — корпус (сталь); Д — защита сцинтиллятора (сталь); Е — заглушка (пластик)

диаметр — 37 мм. Первый (от мишени) сцинтиллятор имеет форму прямоугольной пластины с размерами $25 \times 20 \times 5$ мм, расположенной широкой гранью к мишени. У второго сцинтиллятора, имеющего цилиндрическую форму (радиус — 10 мм, высота — 25 мм), ось симметрии была направлена на мишень. Информацией об энерговыделении частиц является амплитуда сигнала со второго счетчика. Первый счетчик работает на совпадения со вторым и

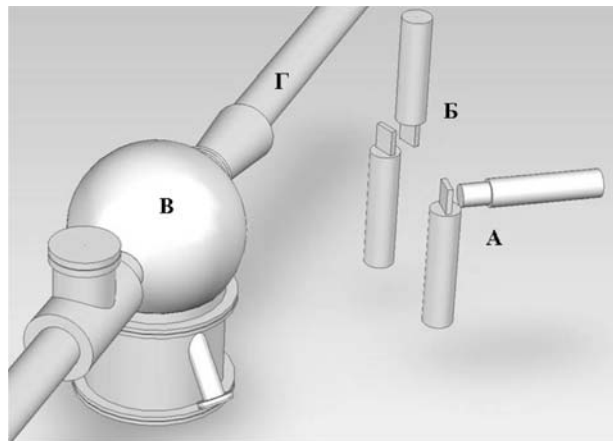


Рис. 3. Схема теста сцинтиляционных детекторов на внутренней мишени нуклotronа:
А — детектор конфигурации А; Б — детектор конфигурации Б; В — вакуумный кожух
станции внутренней мишени; Г — ионопровод нуклотрона

используется для уменьшения количества случайных событий. Старт схемы совпадения осуществляется сигналом со второго счетчика.

Для уменьшения размеров установки в горизонтальной плоскости был разработан детектор с более оптимальной геометрией, чем у детектора конфигурации А. Новая геометрия Б предполагает использовать детектор с вертикальным расположением обоих счетчиков (рис. 2) со вторым сцинтиллятором в форме прямоугольного параллелепипеда с размерами $20 \times 20 \times 25$ мм.

В ходе данной работы были получены зависимости средней амплитуды сигнала и ширины распределения при различных напряжениях на делителе ФЭУ для конфигураций детектора А и Б (рис. 3). Также было исследовано влияние обертывания сцинтиллятора бумагой для улучшения формы энергетического спектра и разрешения по энергии за счет предполагаемого увеличения светосбора.

Для сравнения характеристик детекторов типов А и Б были протестированы три детектора:

- детектор в конфигурации А (№ 1);
- детектор в конфигурации Б (№ 2);
- детектор в конфигурации Б со вторым сцинтиллятором, обернутым белой бумагой (№ 3).

Тестирование проводилось на пучке дейtronов нуклотрона ($E = 1,5$ ГэВ/нуклон, мишень — углерод ^{12}C) при угле рассеяния 45° с использованием стандартной системы сбора данных [6] проекта DSS (Deuteron Spin

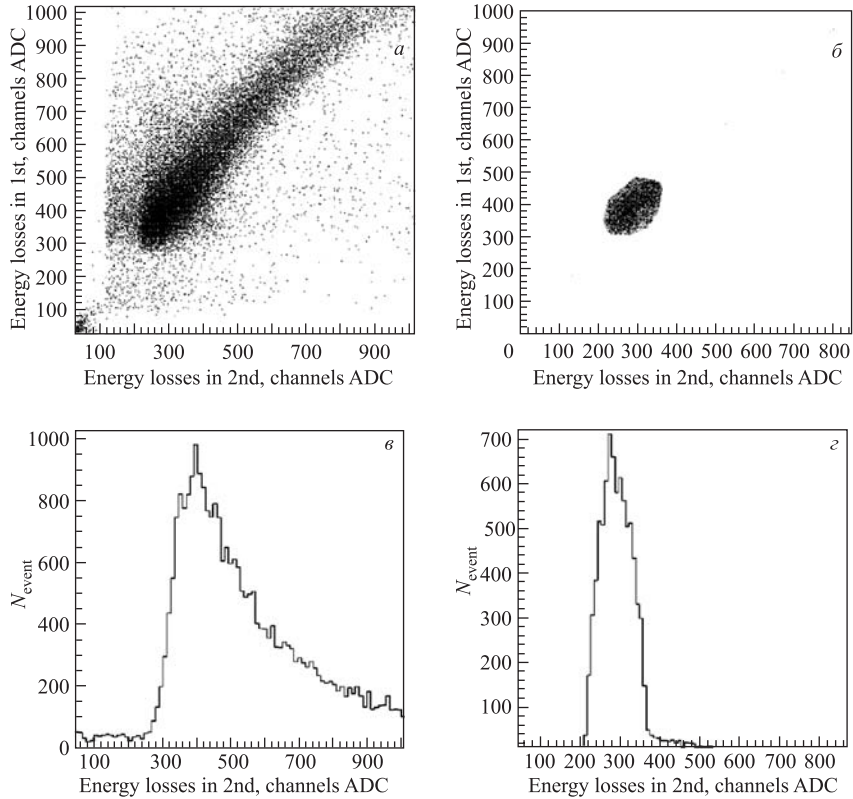


Рис. 4. Корреляция энергетических потерь в первом и втором сцинтилляторах детектора в конфигурации *а*) без критериев, *б*) с критериями. Распределения по энергетическим потерям во втором сцинтилляторе *в*) без учета критериев на корреляцию амплитуд, *г*) с учетом критериев

Structure). Обработка данных осуществлялась при помощи программного пакета ROOT.

Для выделения высокоэнергетичных частиц с низкой ионизирующей способностью (протонов) из непрерывного энергетического спектра (рис. 4, *а*) был использован критерий на корреляцию энергетических потерь в первом и втором сцинтилляторах детекторов (рис. 4, *б*). Распределения по энергетическим потерям частиц во втором сцинтилляторе протонного детектора № 3 без критерия и с учетом критерия на корреляцию энергетических потерь в первом и втором сцинтилляторах показаны на рис. 4, *в* и рис. 4, *г* соответственно.

Из распределений, полученных для всех трех детекторов при различных напряжениях на делителях ФЭУ (HV), находилась ширина распределения на полувысоте (FWHM).

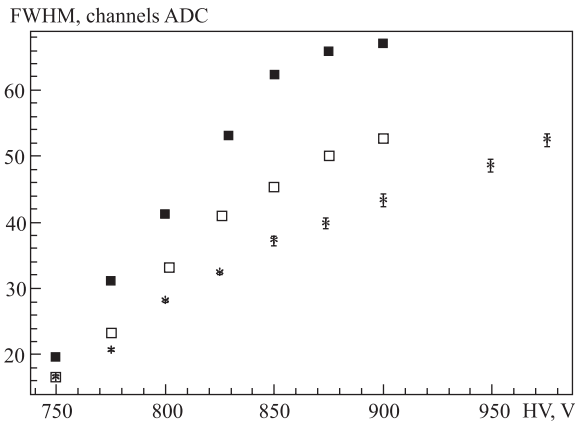


Рис. 5. Зависимость FWHM от HV: * — детектор №1, ■ — детектор №2, □ — детектор №3

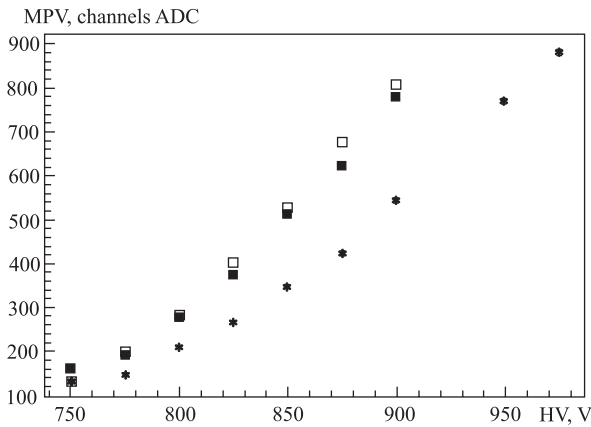


Рис. 6. Зависимость MPV от HV: * — детектор №1, ■ — детектор №2, □ — детектор №3

На рис. 5 показана зависимость ширины распределения FWHM от напряжения на делителе ФЭУ-85 HV. Для устранения погрешности, связанной с отсутствием калибровки детекторов по энергии, был построен график зависимости наиболее вероятного значения энергии MPV от напряжения HV (рис. 6). Значение MPV определялось фитированием верхней части соответствующего распределения функцией Гаусса. С использованием зависимости, представленной на рис. 5 и 6, была получена зависимость FWHM от MPV (рис. 7).

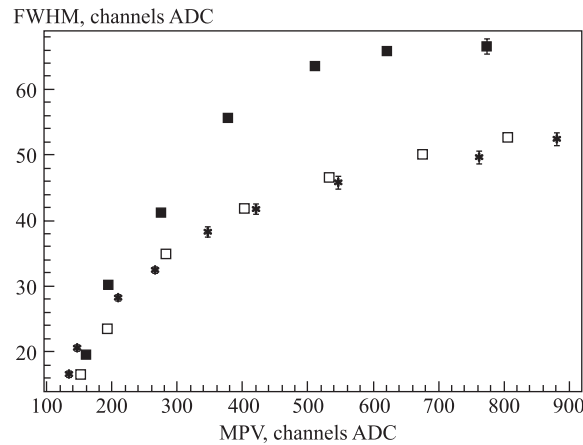


Рис. 7. Зависимость FWHM от MPV в распределении по амплитуде сигналов в толстом пластике: * — детектор № 1, ■ — детектор № 2, □ — детектор № 3

Из рис. 7 видно, что амплитудные характеристики детекторов № 1 и № 3 практически совпадают, что подтверждает пригодность детектора с конфигурацией Б для проведения эксперимента. Обертывание второго сцинтиллятора белой бумагой позволяет значительно улучшить условия светосбора.

Окончательная конструкция детектора представлена на рис. 8. В табл. 1 и 2 указаны основные геометрические параметры детектирующей аппаратуры.

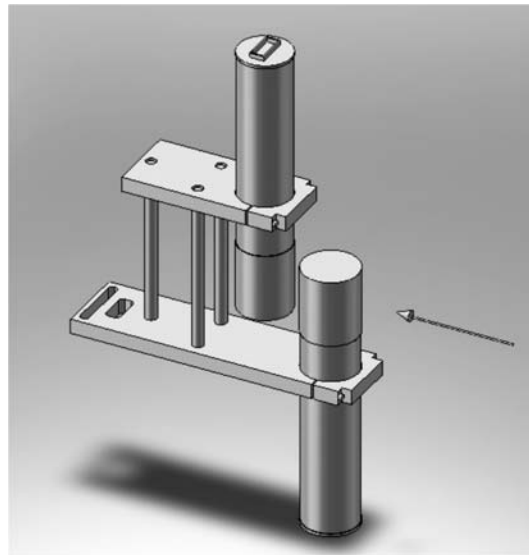


Рис. 8. Новый детектор для регистрации событий dp -упругого рассеяния. Стрелкой показано направление полета частиц

Таблица 1. Геометрические параметры детекторов Р и D

Размеры первого сцинтиллятора детекторов Р и D, мм	$20 \times 25 \times 5$
Размеры второго сцинтиллятора детекторов Р и D, мм	$20 \times 25 \times 20$
Расстояние между центрами первого и второго сцинтилляторов детекторов Р и D, мм	65
Расстояние между точкой взаимодействия пучка с мишенью до центра второго сцинтиллятора детекторов Р и D, мм	624
Угол захвата детекторов Р и D, ср	1,244

Таблица 2. Геометрические параметры детекторов M₁–M₆

Размеры сцинтиллятора детектора M, мм	$20 \times 25 \times 5$
Расстояние между точкой взаимодействия и сцинтиллятором счетчика M ₁ , мм	603
Расстояние между центрами сцинтилляторов счетчиков M ₁ и M ₆ , мм	270
Угол детекторов M относительно вертикали, °	15

ЭКСПЕРИМЕНТАЛЬНЫЕ РЕЗУЛЬТАТЫ

На рис. 9–12 показаны результаты, полученные в 40-м сеансе нуклotronа с новыми детекторами на углеродной мишени при импульсе начального дейтрана 3,5 ГэВ/с. Детекторы для регистрации pp-квазиупругого рассеяния (детекторы PP) располагались под углом 90° в с.ц.м., детекторы для регистрации dp-квазиупругого (детекторы DP) — под углом 70° в с.ц.м. По корреляциям энергетических потерь для детекторов DP и PP (рис. 9) видно надежное выделение событий dp- и pp-квазиупругого рассеяния. Количество счетов с детекторами M₄–M₅–M₆ меньше количества счетов с M₁–M₂–M₃ из-за различного телесного угла мониторных счетчиков и осаждения частиц в сцинтилляторах детекторов M₁–M₃.

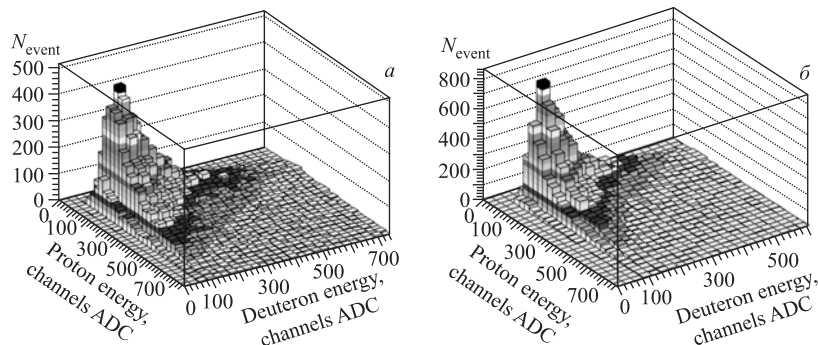


Рис. 9. Корреляция энергетических потерь а) протона и дейтрана с детекторами Р и D при угле рассеяния 70° в с.ц.м; б) протонов с детекторами PP при угле рассеяния 90° в с.ц.м.

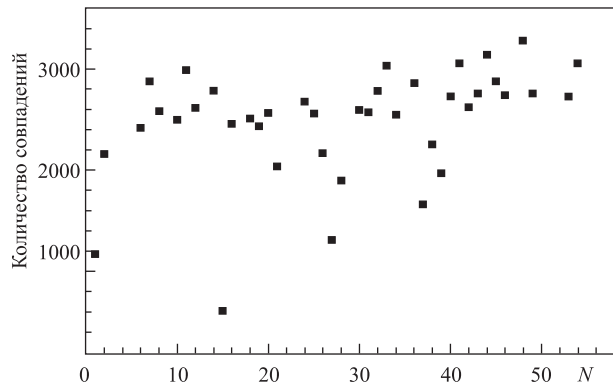


Рис. 10. Зависимость количества совпадений счетчиков $M_1-M_2-M_3$ от номера цикла ускорителя

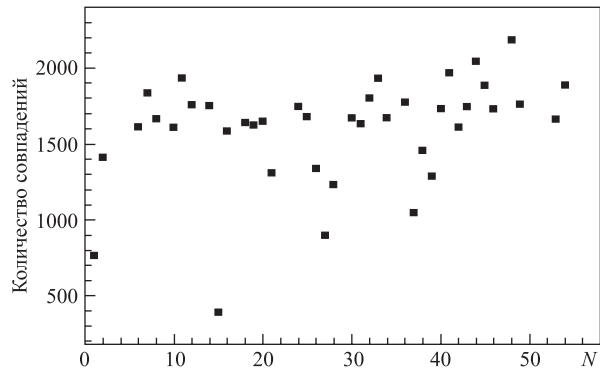


Рис. 11. Зависимость количества совпадений счетчиков $M_4-M_5-M_6$ от номера цикла ускорителя

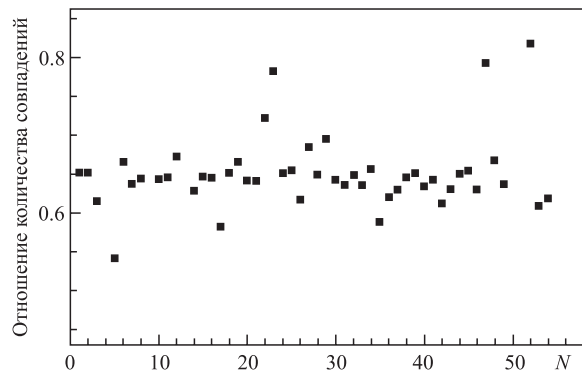


Рис. 12. Зависимость отношения количества совпадений счетчиков $M_4-M_5-M_6$ и $M_1-M_2-M_3$ от номера цикла ускорителя

ЗАКЛЮЧЕНИЕ

Создан комплекс детектирующей аппаратуры для изучения реакции dp -упругого рассеяния на внутренней мишени нуклotronа.

В результате тестовых испытаний выбрана конфигурация сцинтилляционного детектора, наиболее пригодная для условий эксперимента, т. е. обладающая необходимым разрешением по энергии и компактной геометрией.

В 40-м сеансе нуклотрона выделены события квазиупругого pp - и dp -рассеяния при импульсе начального дейtron'a 3,5 ГэВ/с по корреляции энергетических потерь и времепролетному спектру с использованием новых детекторов.

Работа частично поддержана грантом РФФИ 10-02-00087а.

ЛИТЕРАТУРА

1. *Ladygin V. P. et al.* // EPJ Web of Conf. 2010. V. 3. 04004.
2. *Uesaka T. et al.* // Phys. Part. Nucl., Lett. 2006. V. 3. P. 305–311.
3. *Malakhov A. I. et al.* // Nucl. Instr. Meth. A. 2000. V. 440. P. 320.
4. *Gurchin Yu. V.* // Part. Nucl., Lett. 2007. V. 4. P. 263–267.
5. *Astakhov V. I.* <http://hvsys.dubna.ru>
6. *Isupov A. Yu.* // Czech. J. Phys. A. 2005. V. 55. P. 407.

Получено 29 октября 2010 г.

Редактор *М. И. Зарубина*

Подписано в печать 28.01.2011.

Формат 60 × 90/16. Бумага офсетная. Печать офсетная.
Усл. печ. л. 0,75. Уч.-изд. л. 0,91. Тираж 325 экз. Заказ № 57224.

Издательский отдел Объединенного института ядерных исследований
141980, г. Дубна, Московская обл., ул. Жолио-Кюри, 6.

E-mail: publish@jinr.ru
www.jinr.ru/publish/